

図41 発破観測データ(SP3)

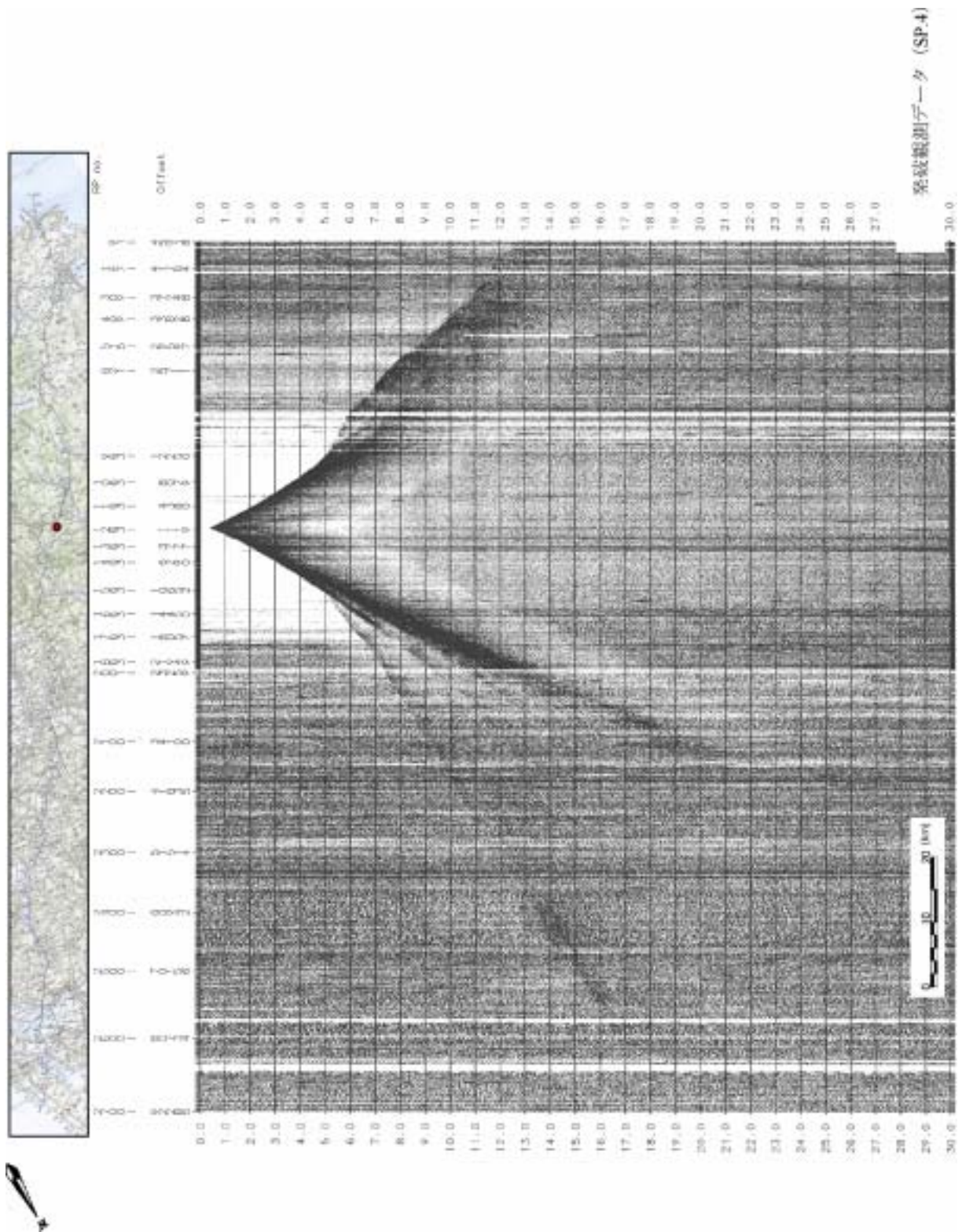


図 42 発破観測データ(SP4)

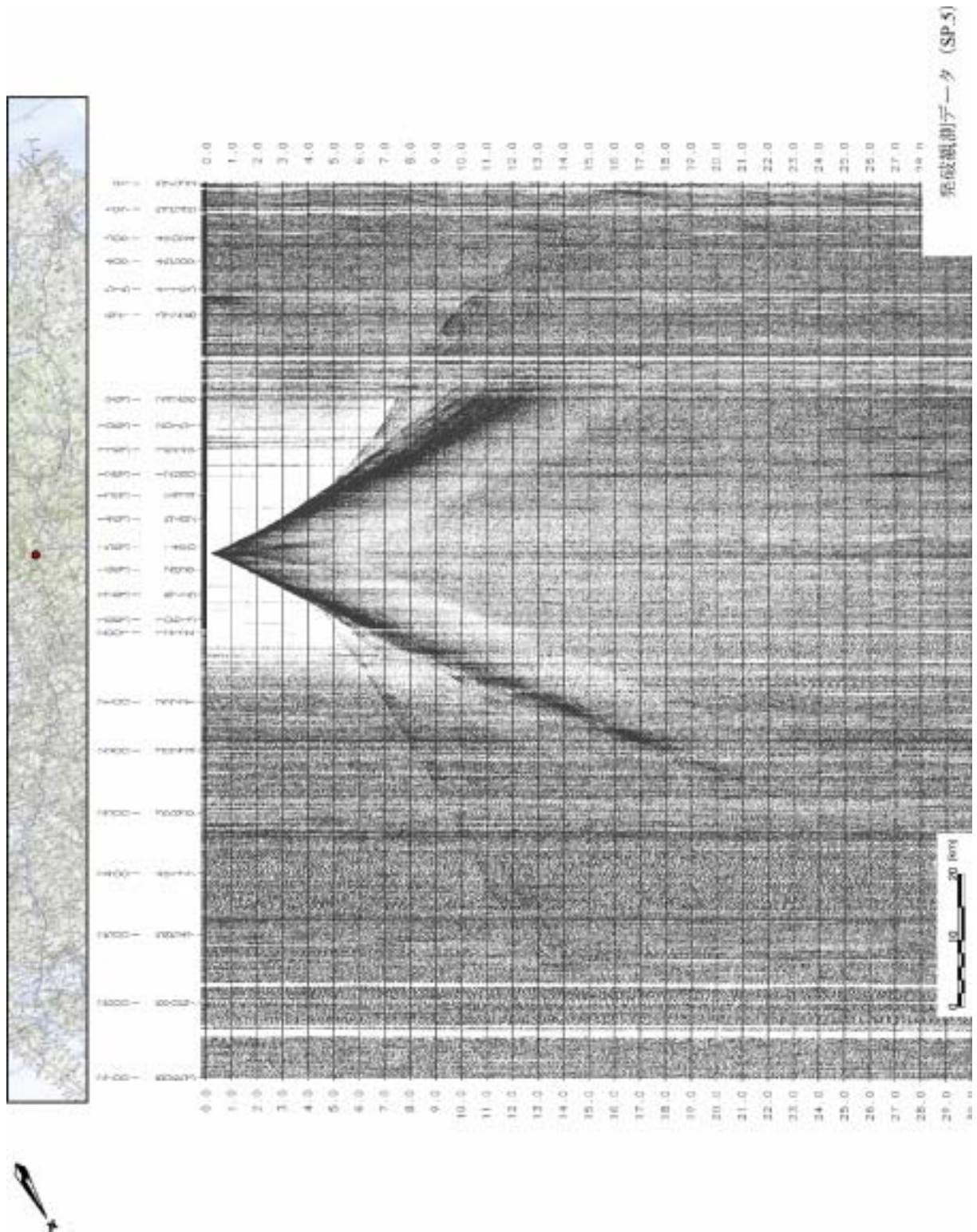


図 43 発破観測データ(SP5)

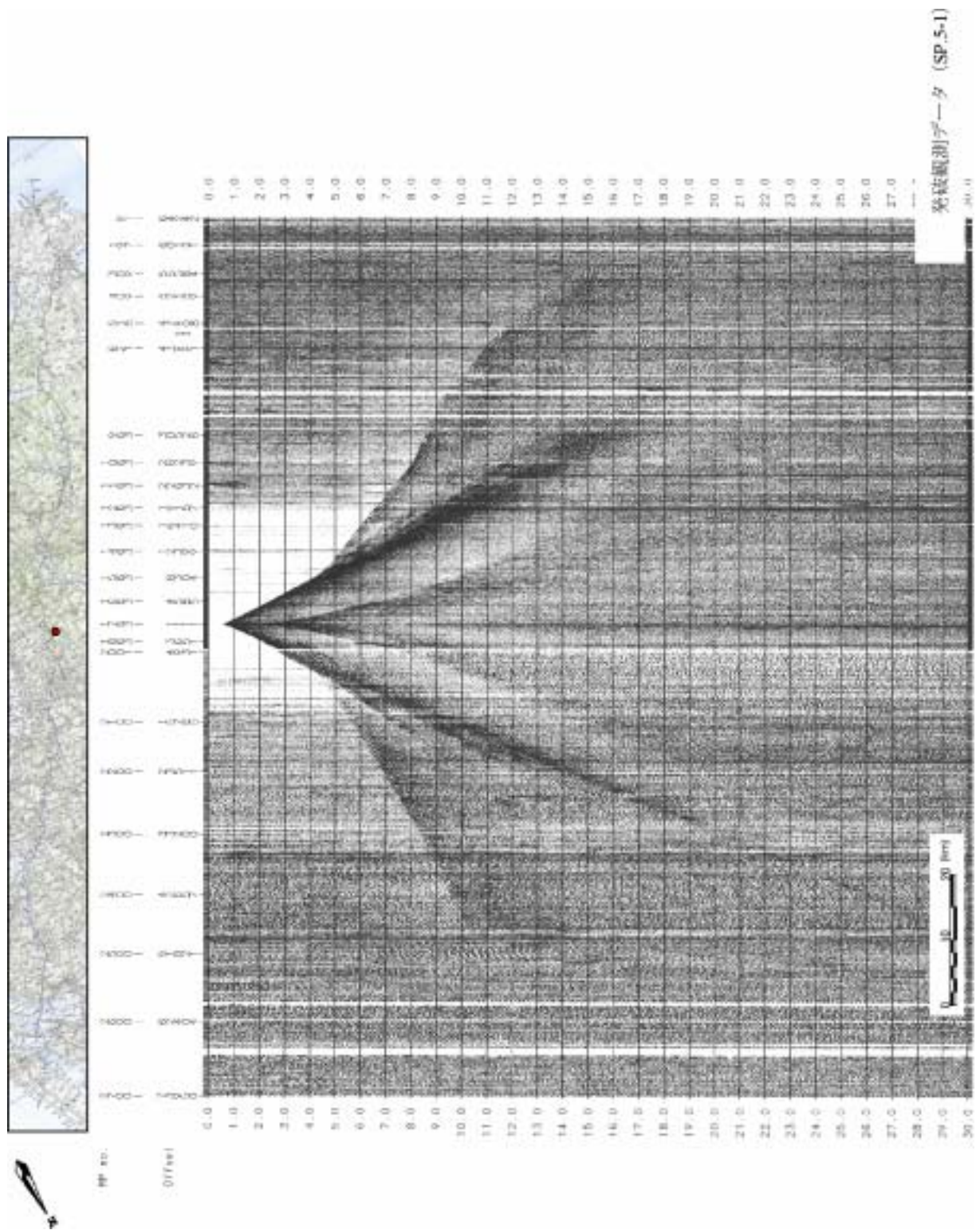


図 44 発破観測データ(SP5-1)

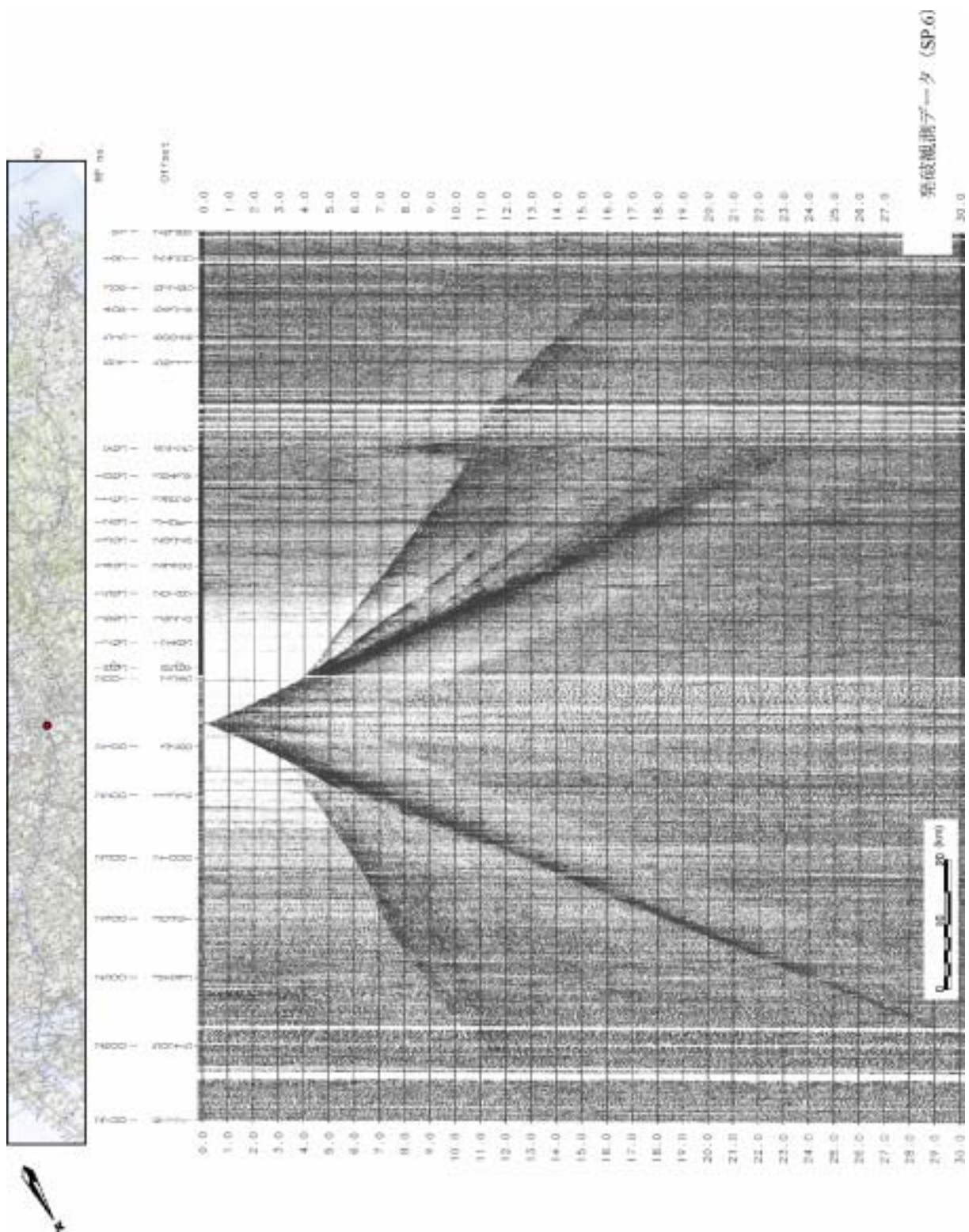


図 45 発破観測データ(SP6)

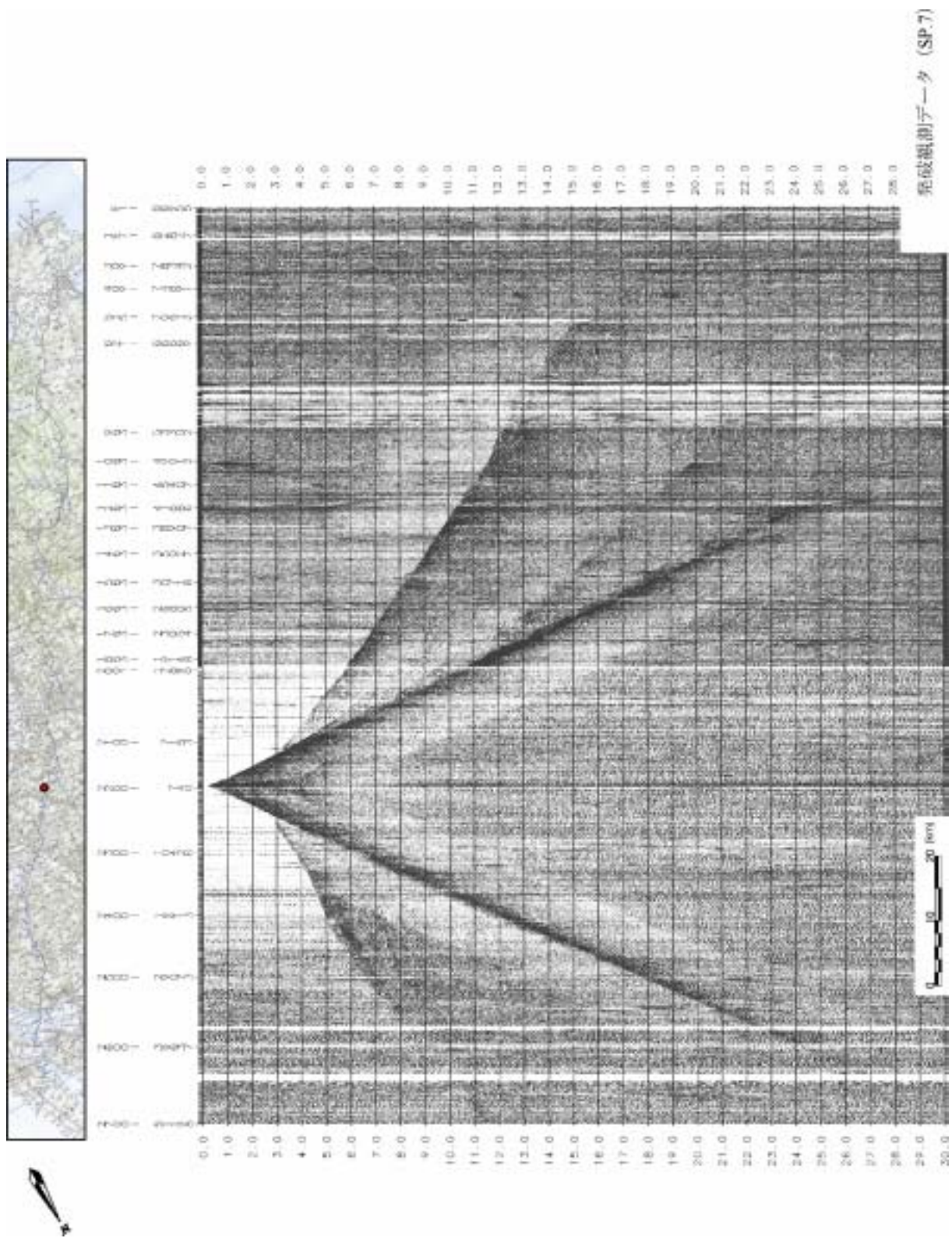


図 46 発破観測データ(SP7)

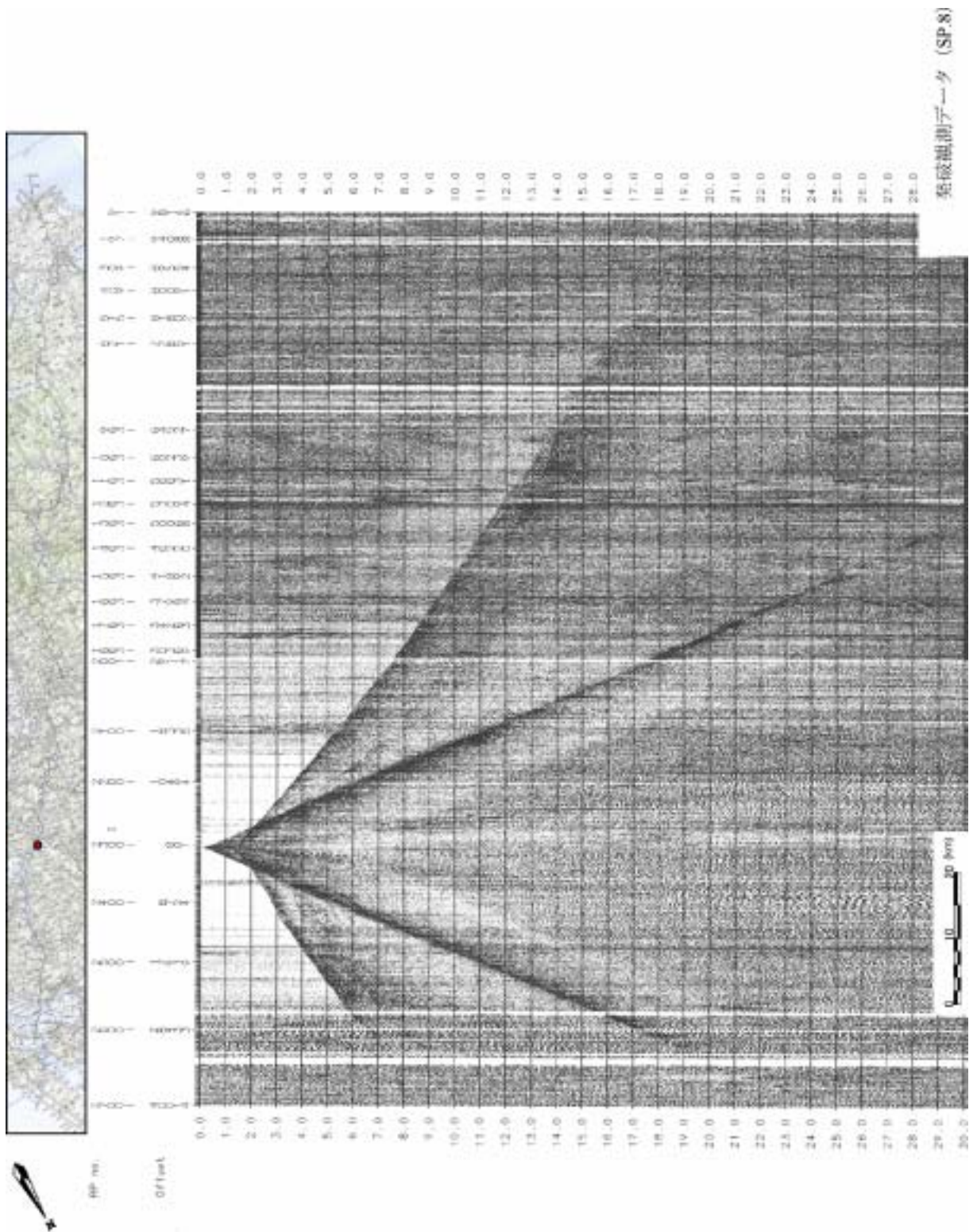


図 47 発破観測データ(SP8)

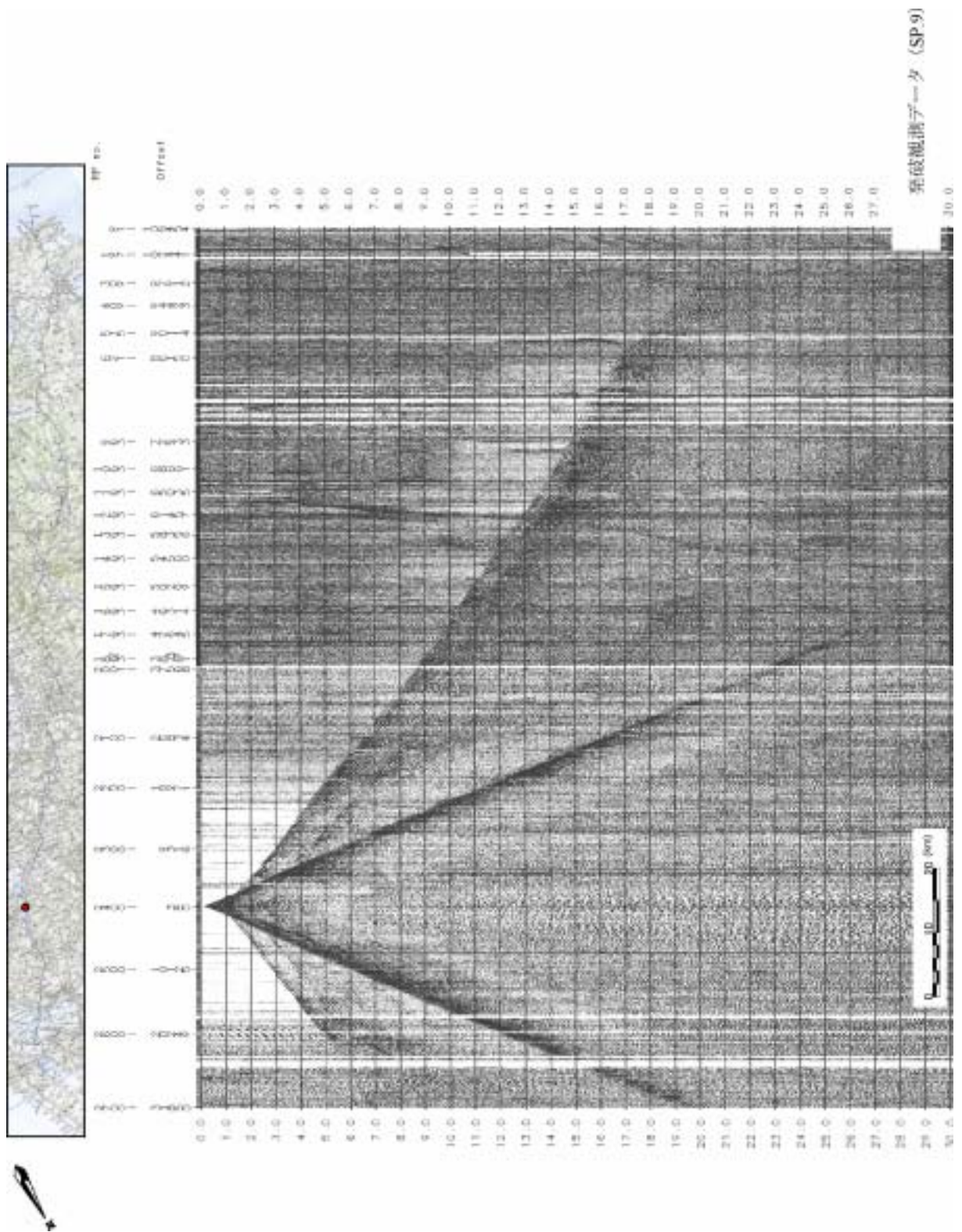


図 48 発破観測データ(SP9)



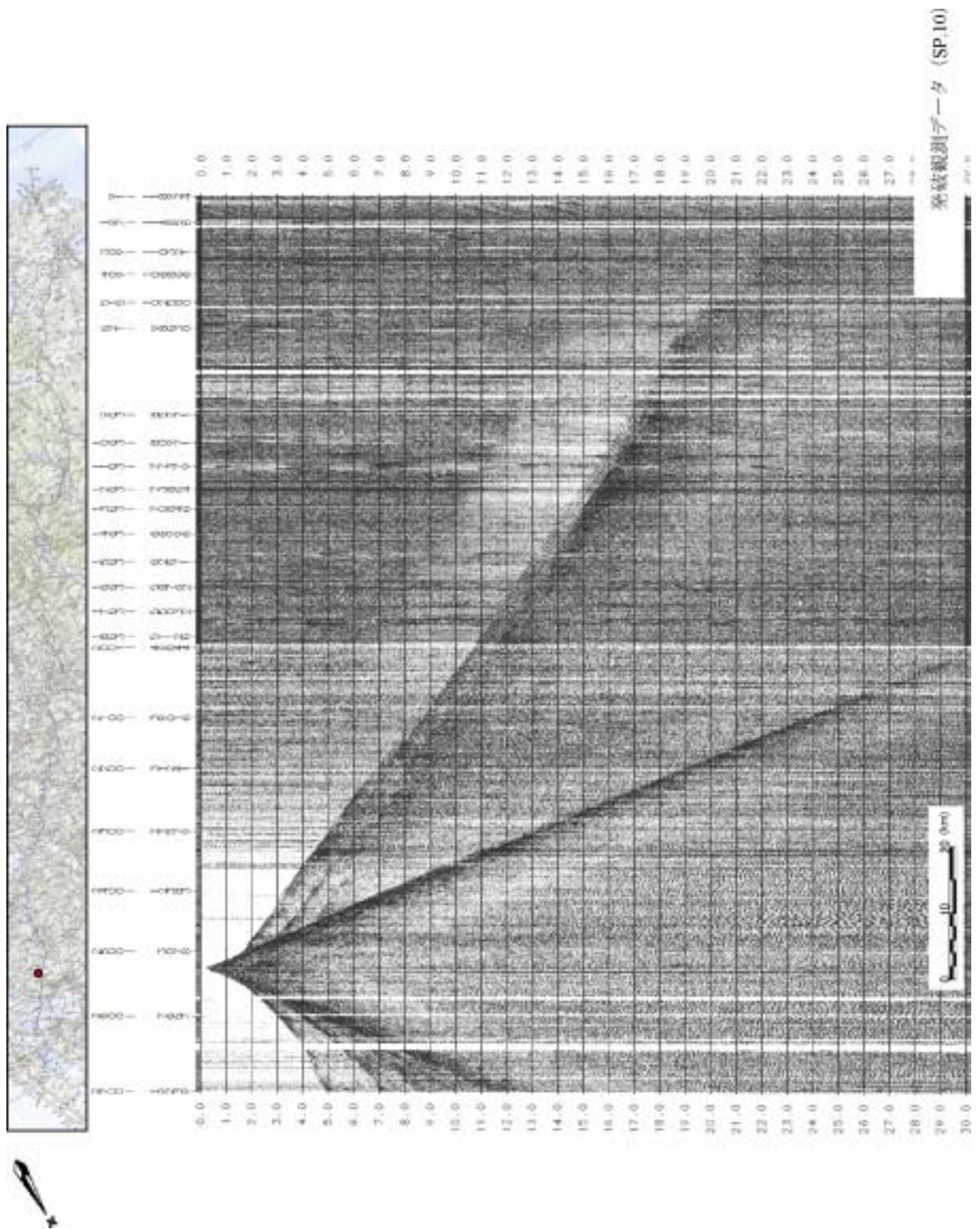


図 49 発破観測データ(SP10)

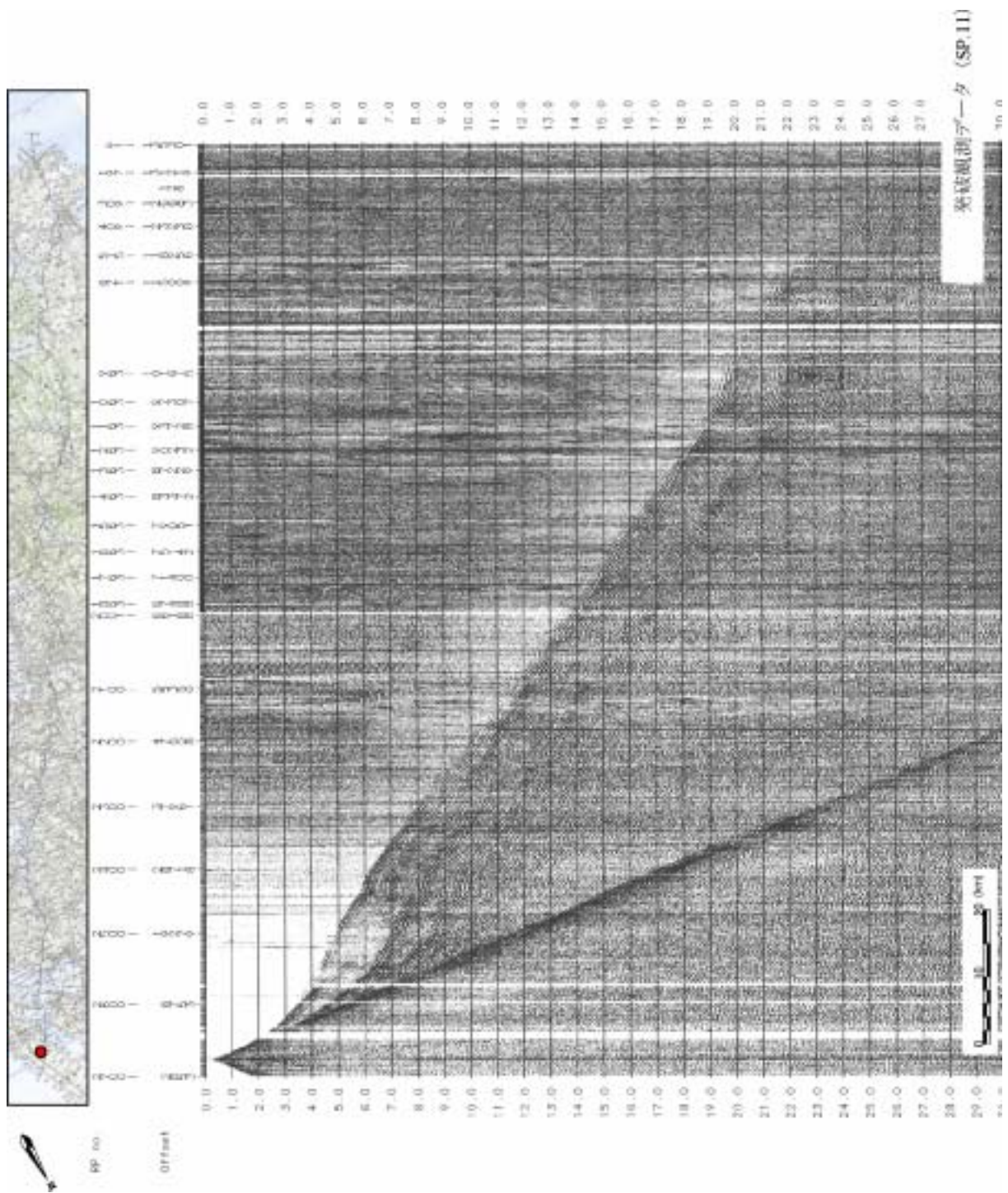


図 50 発破観測データ(SP11)

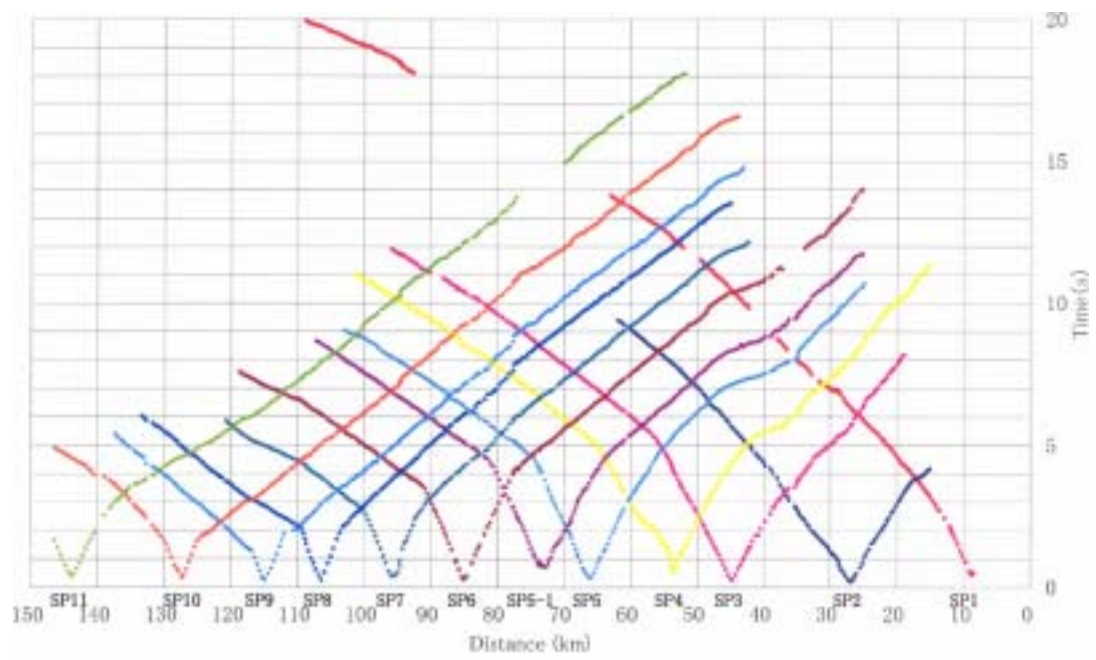
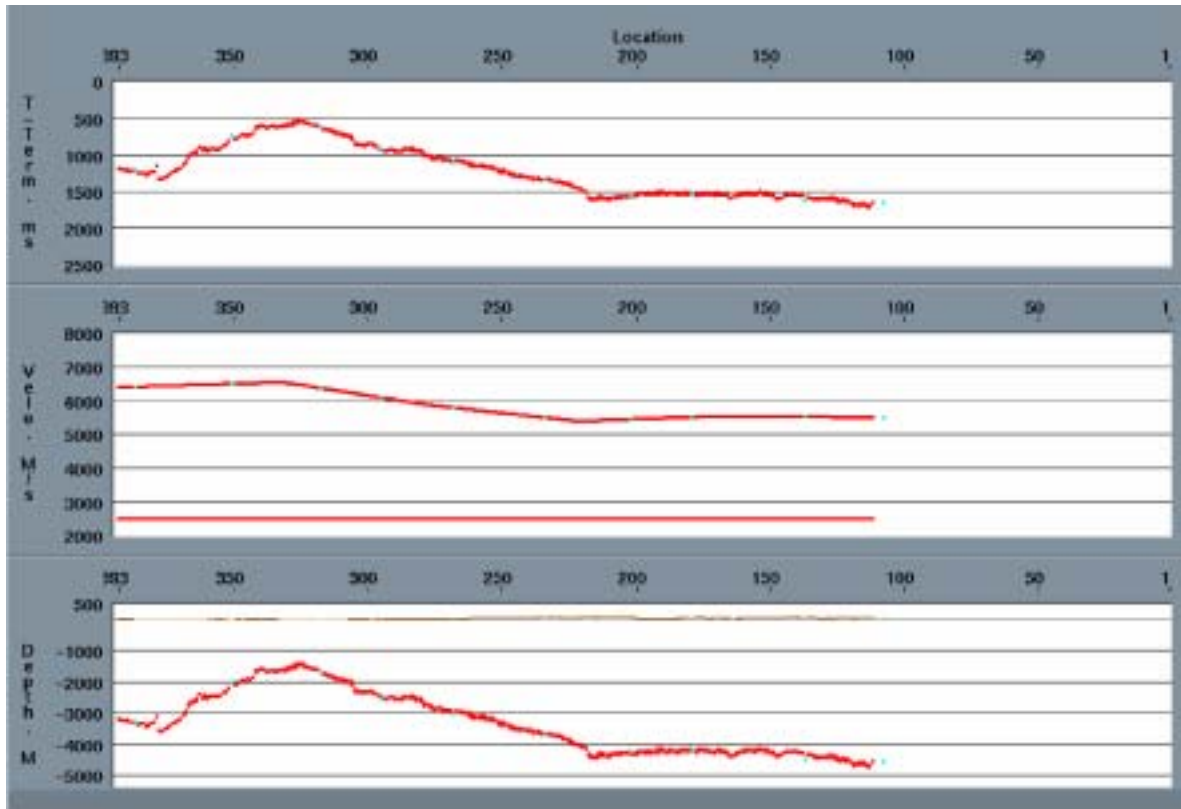
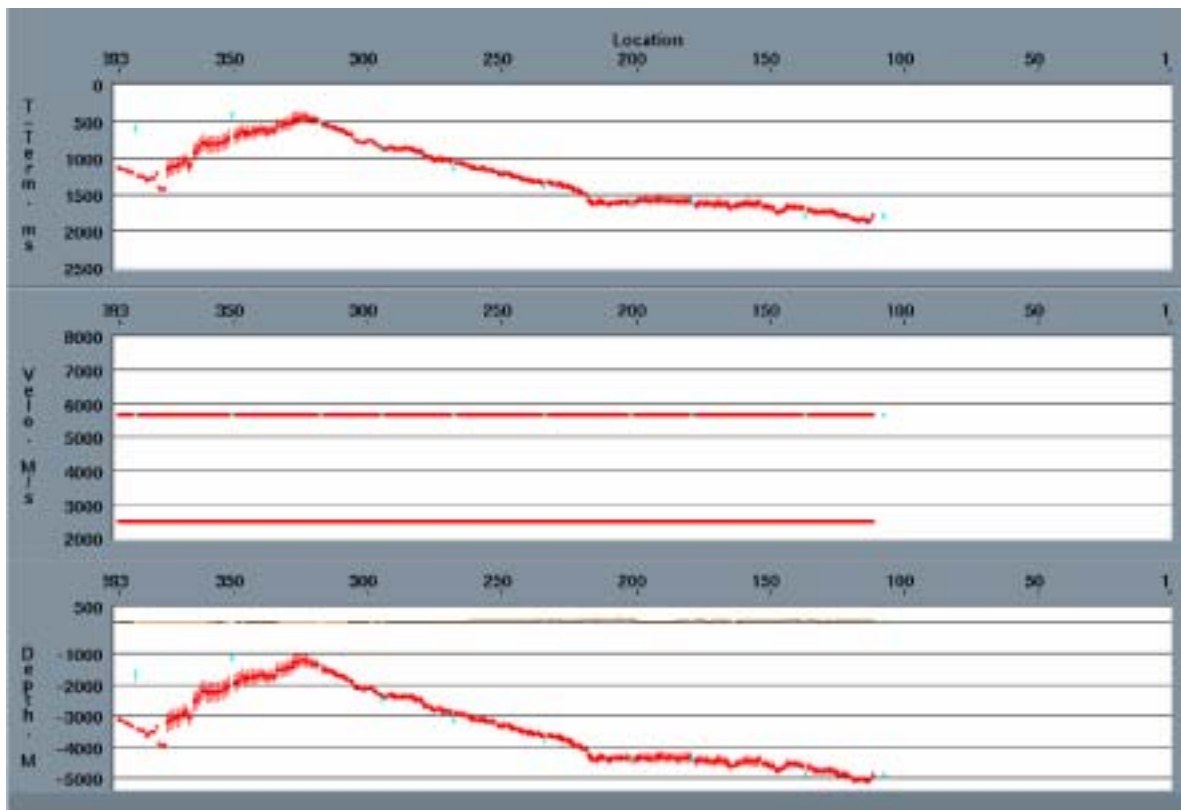


图 51 屈折法走時曲線



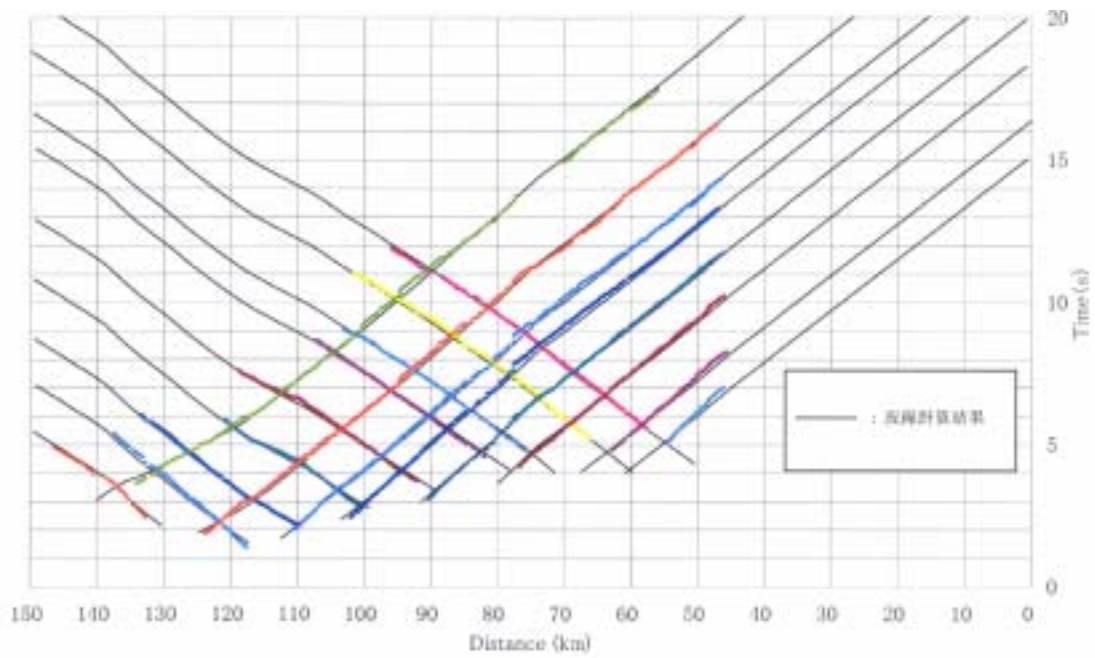
タイムターム法による基盤構造図（第2層可変速度）

図 52 2層目の速度を可変にした初動解析（タイムターム法）結果



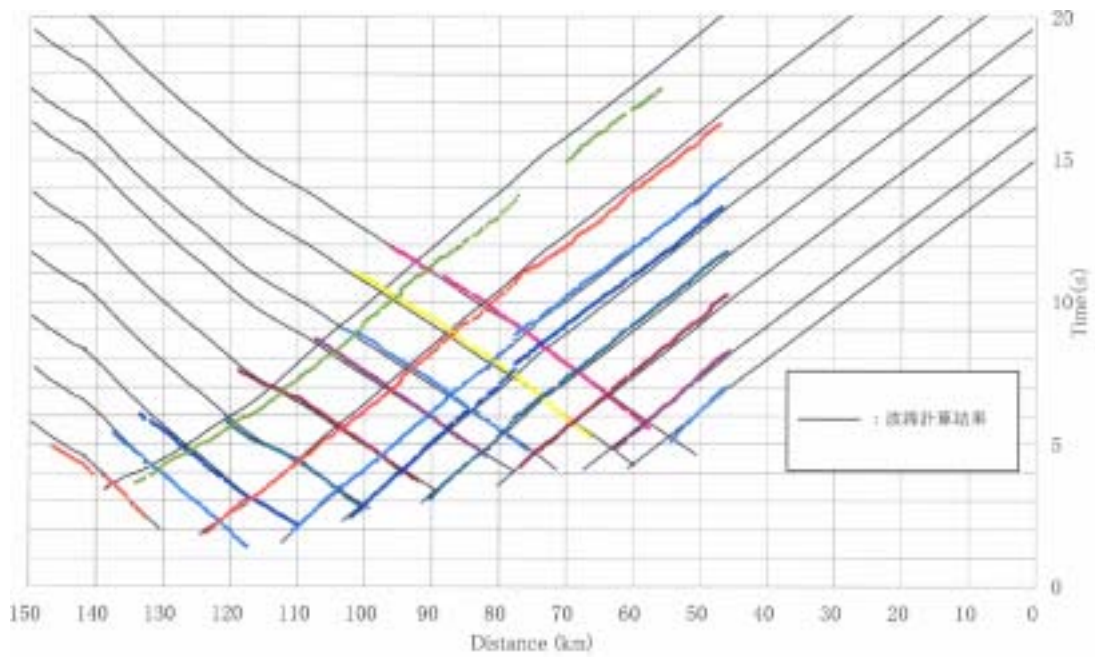
タイムターム法による基盤構造図（第2層均一速度）

図 53 2層目の速度を固定した初動解析（タイムターム法）結果



観測走時と波線計算結果（第2層可変速度）

図 54 2層目の速度を可変にした観測走時と波線計算との比較



観測走時と波線計算結果（第2層均一速度）

図 55 2層目の速度を固定した観測走時と波線計算との比較

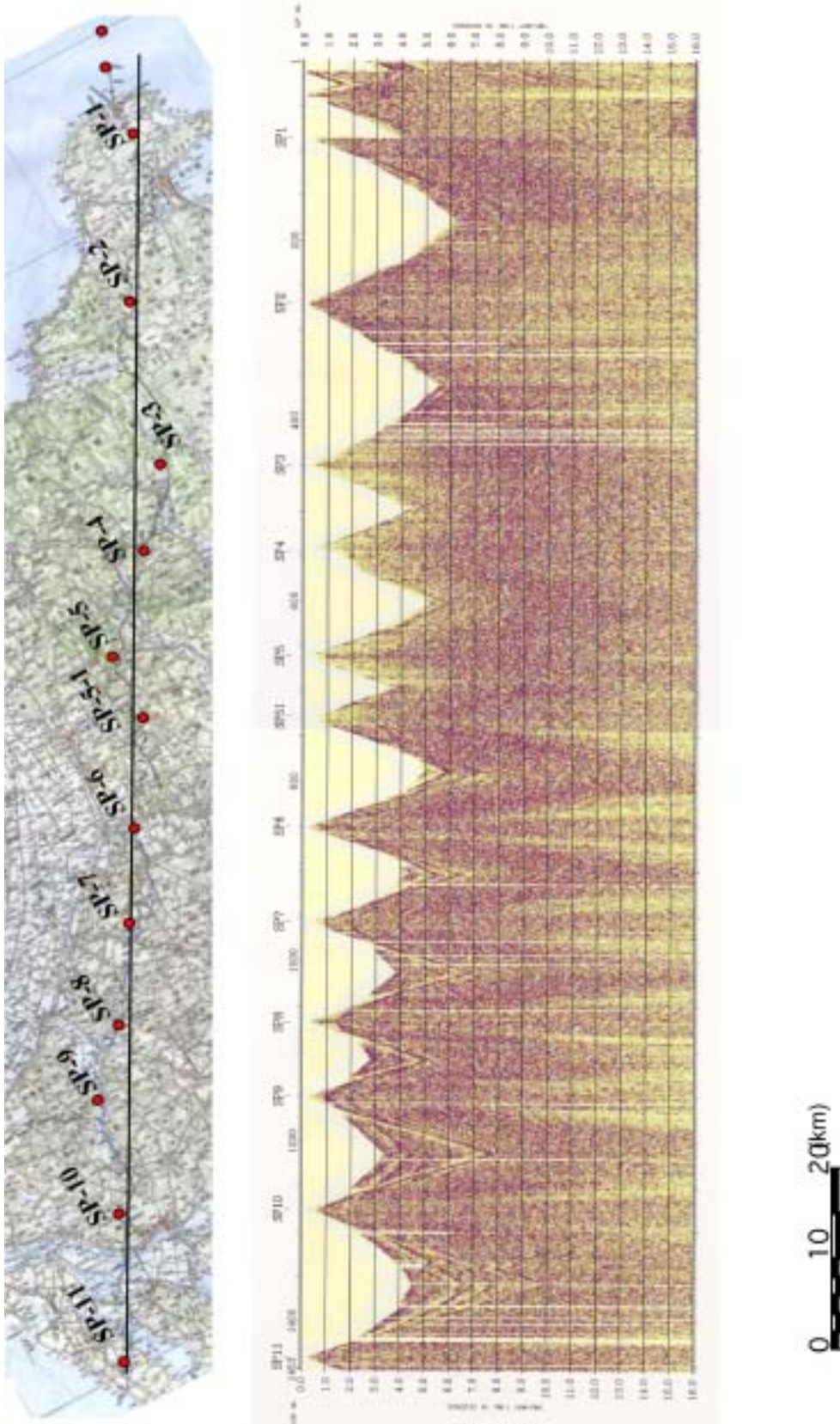


図 56 ダイナマイト震源データによる重合前 100%時間断面

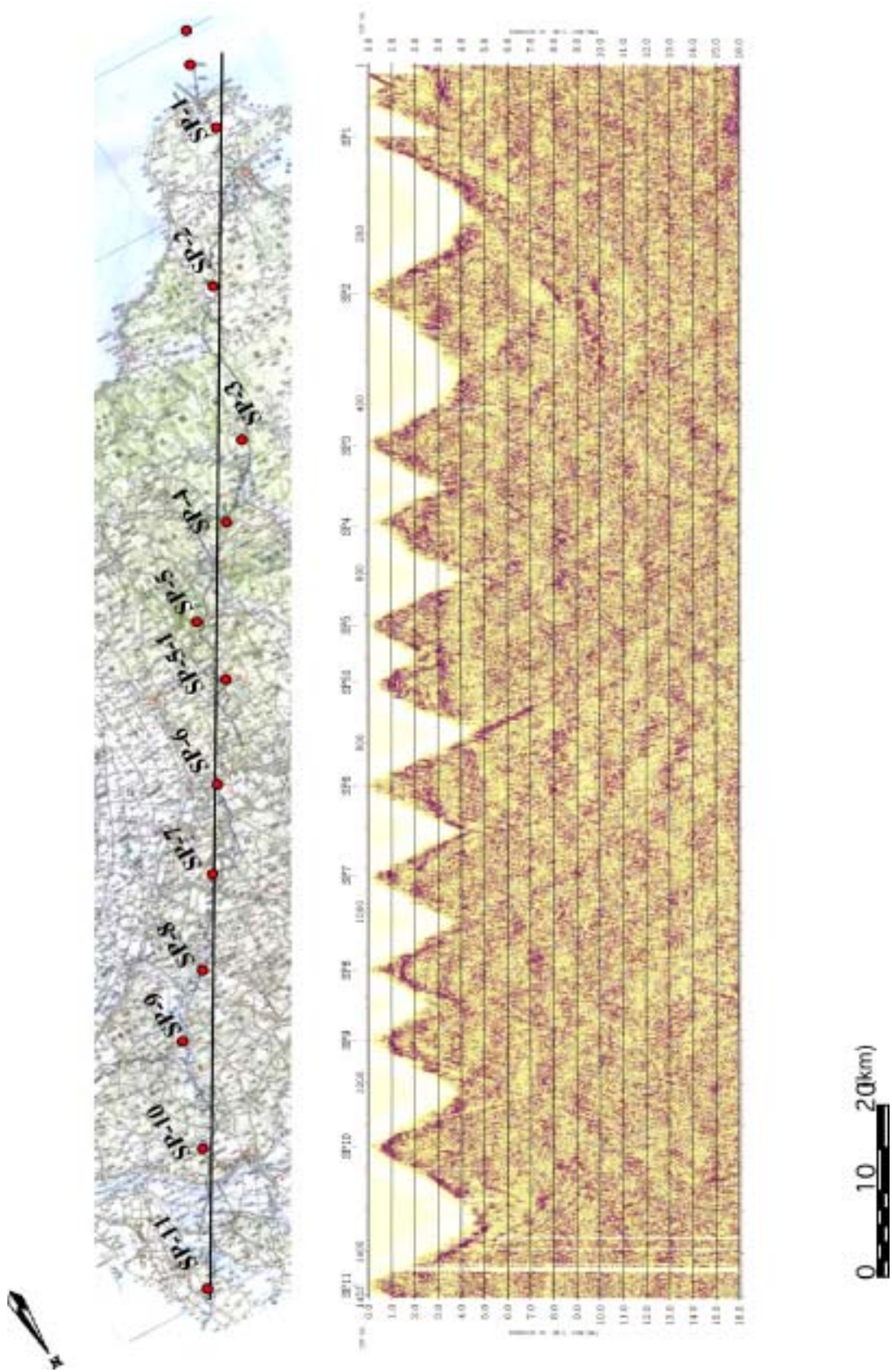


図 57 ダイナマイト震源データによる重合後時間断面

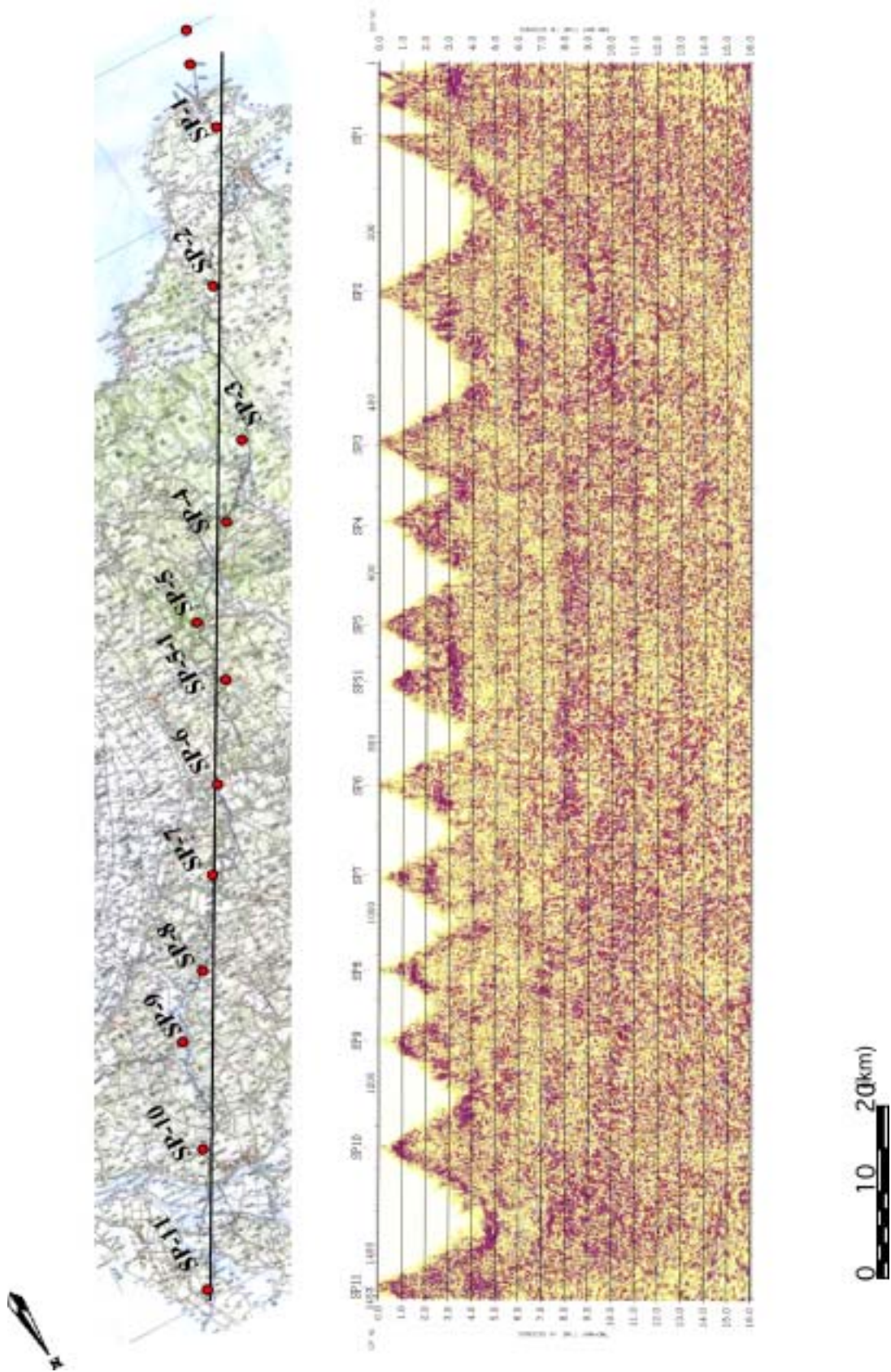


図 58 ダイナマイト震源データによるマイグレーション時間断面